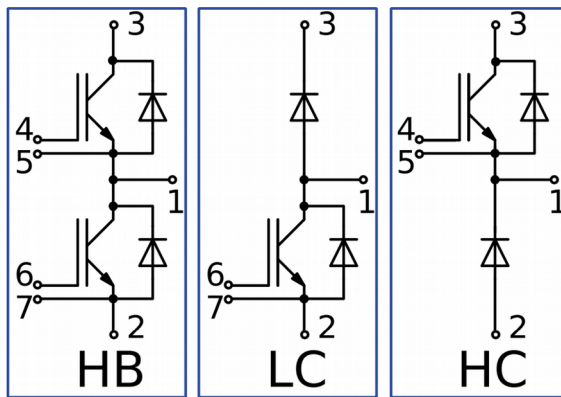
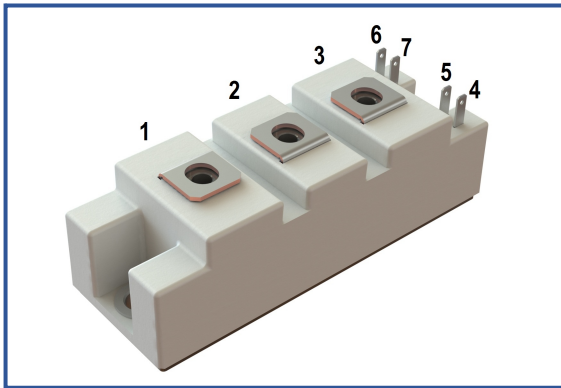


IGBT модуль в стандартном корпусе 34мм
1700 В 100 А

Особенности чипов

- IGBT чип
 - Trench FS — V-Series IGBT (чипы Fuji 6-го поколения)
 - низкое значение $U_{CE(sat)}$
 - длительность КЗ 10 мкс при 150°C
 - квадратная область RBSOA при 2xIc
 - низкое ЭМИ
- FRD чип
 - быстрое и мягкое восстановление
 - низкое падение напряжения

Особенности конструкции

- медное основание
- Al_2O_3 DBC подложки
- ультразвуковая приварка силовых выводов
- улучшенная стойкость к термоциклам
- соответствие RoHS
- сертифицирован UL файл № E255404

Типовые применения

- приводы двигателей переменного тока
- преобразователи на основе солнечных батарей
- системы кондиционирования воздуха
- преобразователи высокой мощности и ИБП

Предельно допустимые значения параметров

Параметр	Обозн.	Условия	Знач.	Ед.
IGBT				
Напряжение коллектор-эмиттер	U_{CES}	$U_{GE} = 0.$	1700	В
Номинальный ток коллектора	$I_{C nom}$		100	А
Постоянный ток коллектора	$I_{C 25}$	$T_{vj(max)} = 175^{\circ}C; T_c = 25^{\circ}C.$	160	А
	$I_{C 80}$	$T_{vj(max)} = 175^{\circ}C; T_c = 80^{\circ}C.$	100	А
Максимальный повторяющийся импульсный ток коллектора*1	I_{CRM}	$I_{CRM} = 3 \times I_{C nom}; t_p = 1 \text{ мс.}$	300	А
Длительность импульсного тока короткого замыкания	t_{psc}	$T_{vj} = 25^{\circ}C; U_{GE} = \pm 15 \text{ В}; U_{CE} = 1000 \text{ В}; R_{G on} = R_{G off} = 2.0 \text{ Ом}; I_{C max} < 700 \text{ А.}$	10	мкс
		$T_{vj} = 150^{\circ}C; U_{GE} = \pm 15 \text{ В}; U_{CE} = 1000 \text{ В}; R_{G on} = R_{G off} = 2.0 \text{ Ом}; I_{C max} < 680 \text{ А.}$	10	
Напряжение затвор-эмиттер	U_{GES}		± 20	В
Рабочая температура перехода	$T_{vj(op)}$		-40...+150	°C
Диод чоппера/Обратно-параллельный диод.				
Повторяющееся импульсное обратное напряжение	U_{RRM}	$U_{GE} = 0 \text{ В.}$	1700	В
Номинальный прямой ток	$I_{F nom}$		100	А
Постоянный прямой ток	$I_{F 25}$	$T_{vj(max)} = 175^{\circ}C; T_c = 25^{\circ}C.$	125	А
	$I_{F 80}$	$T_{vj(max)} = 175^{\circ}C; T_c = 80^{\circ}C.$	93	А
Повторяющийся прямой импульсный ток*1	I_{FRM}	$I_{FRM} = 3 \times I_{F nom}; t_p = 1 \text{ мс.}$	300	А
Рабочая температура перехода	$T_{vj(op)}$		-40...+150	°C
Модуль				
Температура хранения	T_{stg}		-55...+50	°C
Напряжение пробоя изоляции	U_{isol}	AC sin 50 Гц; t = 1 мин.	4000	В

*1 Длительность импульса и частота повторения должна быть такой, чтобы температура перехода не превышала $T_{vj max}$.

Характеристики

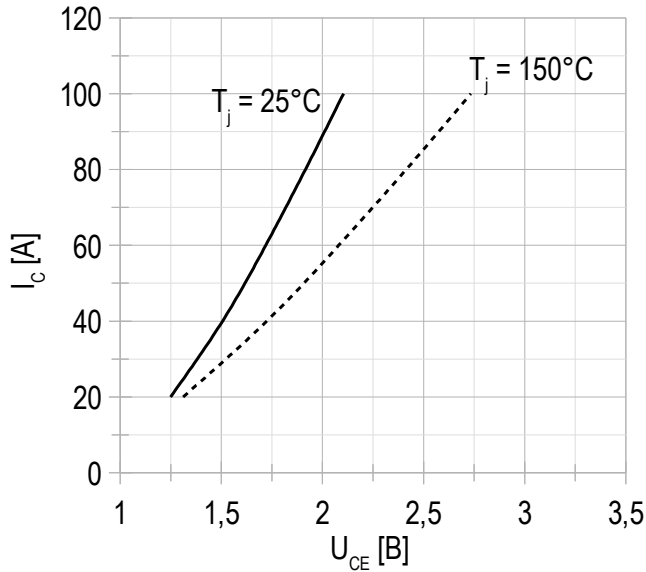
Параметр	Обозн.	Условия	Знач.			Ед.		
			мин.	тип.	макс.			
IGBT								
Напряжение насыщения коллектор-эмиттер	U_{CEsat}	$U_{GE} = +15\text{ В}; I_C = 100\text{ А}; t_u = 1000\text{ мкс.}$	$T_{vj} = 25^\circ\text{C}$ $T_{vj} = 150^\circ\text{C}$	2.03 2.66	2.07 2.72	2.47 2.92	В	
Пороговое напряжение затвор-эмиттер	$U_{GE(th)}$	$I_C = 4\text{ мА}; U_{CE} = U_{GE}; T_{vj} = 25^\circ\text{C}; t_u = 2\text{ мс.}$		5.28	5.72	6.35	В	
Ток утечки коллектор-эмиттер	I_{CES}	$U_{CE} = 1700\text{ В}; t_u = 50\text{ мс}; U_{GE} = 0.$	$T_{vj} = 25^\circ\text{C}$ $T_{vj} = 150^\circ\text{C}$	3.95 0.55	4.60 0.67	300 2.00	мкА мА	
Ток утечки затвор-эмиттер	I_{GES}	$U_{CE} = 0; U_{GE} = \pm 20\text{ В}; T_{vj} = 25^\circ\text{C}; t_u = 30\text{ мс.}$		16.9	22.1	250	нА	
Входная ёмкость	C_{ies}	$U_{CE} = 10\text{ В}; U_{GE} = 0\text{ В}; f = 1\text{ МГц}; T_{vj} = 25^\circ\text{C}.$		-	7.50	-	нФ	
Выходная ёмкость	C_{oes}			-	0.40	-	нФ	
Обратная передаточная ёмкость	C_{res}			-	0.50	-	нФ	
Заряд затвора	Q_G	$I_C = 100\text{ А}; U_{CE} = 920\text{ В}; U_{GE} = -8\div 15\text{ В.}$		-	1197	1271	нКл	
Встроенный резистор затвора	R_{Gint}	$T_{vj} = 25^\circ\text{C}.$		-	10.0	-	Ом	
Время задержки включения	$t_{d(on)}$	$U_{CE} = 850\text{ В}; U_{GE} = \pm 15\text{ В}; I_{Cmax} = 100\text{ А}; R_{Gon} = 2.2\text{ Ом}; L = 300\text{ мкГн.}$	$T_{vj} = 25^\circ\text{C}$ $T_{vj} = 150^\circ\text{C}$	352 404	360 412	420 480	нс	
Время нарастания тока коллектора	t_{ri}		$T_{vj} = 25^\circ\text{C}$ $T_{vj} = 150^\circ\text{C}$	33.0 38.0	34.0 39.0	45.0 50.0	нс	
Энергия потерь при включении	E_{on}		$T_{vj} = 25^\circ\text{C}$ $T_{vj} = 150^\circ\text{C}$	10.0 18.0	12.0 21.0	18.0 28.0	мДж	
Время задержки выключения	$t_{d(off)}$		$T_{vj} = 25^\circ\text{C}$ $T_{vj} = 150^\circ\text{C}$	400 480	410 480	480 560	нс	
Время спада тока коллектора	t_{fi}		$T_{vj} = 25^\circ\text{C}$ $T_{vj} = 150^\circ\text{C}$	556 788	588 832	720 960	нс	
Энергия потерь при выключении	E_{off}		$T_{vj} = 25^\circ\text{C}$ $T_{vj} = 150^\circ\text{C}$	20.0 29.0	22.0 31.0	27.0 39.0	мДж	
Пороговое напряжение коллектор-эмиттер	U_{CE0}		$U_{GE} = +15\text{ В}; T_{vj} = 150^\circ\text{C}; I_{CE1} = 25\text{ А}; I_{CE2} = 100\text{ А}; t_u = 1000\text{ мкс.}$		1.04	1.06	1.10	В
Динамическое сопротивление	r_{CE0}				16.1	16.7	18.0	МОм
Тепловое сопротивление переход-корпус	$R_{th(j-c)}$		$DC; I_{CE} = 100\pm 10\text{ А}; I_{test} = 0.5\text{ А}; U_{GE} = +15\text{ В.}$		-	0.209	0.235	К/Вт
Диод чоппера\Обратно-параллельный диод.								
Постоянное прямое напряжение	U_F	$I_F = 100\text{ А}; U_{GE} = 0; t_u = 1000\text{ мкс.}$	$T_{vj} = 25^\circ\text{C}$ $T_{vj} = 150^\circ\text{C}$	1.83 1.89	1.87 1.95	2.22 1.98	В	
Время обратного восстановления	t_{rr}	$U_{GE} = \pm 15\text{ В}; U_{CE} = 850\text{ В}; I_{Cmax} = 100\text{ А}; R_{Gon} = 2.2\text{ Ом}; L = 300\text{ мкГн.}$	$T_{vj} = 25^\circ\text{C}$ $T_{vj} = 150^\circ\text{C}$	133 211	148 269	180 340	нс нс	
Повторяющийся импульсный обратный ток	I_{rrm}		$T_{vj} = 25^\circ\text{C}$ $T_{vj} = 150^\circ\text{C}$	132 146	139 156	170 190	А А	
Заряд обратного восстановления	Q_{rr}		$T_{vj} = 25^\circ\text{C}$ $T_{vj} = 150^\circ\text{C}$	10.0 17.0	11.0 20.0	15.0 26.0	мкКл мкКл	
Энергия потерь при обратном восстановлении	E_{rec}		$T_{vj} = 25^\circ\text{C}$ $T_{vj} = 150^\circ\text{C}$	10.0 20.0	11.0 22.0	15.0 27.0	мДж мДж	
Пороговое напряжение	$U_{(T0)}$		$T_{vj} = 150^\circ\text{C}; U_{GE} = 0; I_{CE1} = 25\text{ А}; I_{CE2} = 100\text{ А}; t_u = 1000\text{ мкс}$		0.89	0.90	0.95	В
Динамическое сопротивление	r_T				10.0	10.5	11.6	МОм
Тепловое сопротивление переход-корпус	$R_{th(jc-D)}$	$DC; I_{CE} = 80\pm 10\text{ А}; I_{test} = 0.5\text{ А}; U_{GE} = +15\text{ В.}$		-	0.452	0.500	К/Вт	

Модуль							
Сопротивление выводов	R_{Pxy}	$T_{vj} = 25^{\circ}\text{C}$.	R_{P12}	-	0.47	0.50	мОм
			R_{P13}	-	0.66	0.66	
Паразитная индуктивность модуля между силовыми выводами	L_{Pxy}	$T_{vj} = 25^{\circ}\text{C};$ $f = 1 \text{ МГц.}$	L_{P12}	-	34.5	35.0	нГн
			L_{P13}	-	52.3	60.0	
Тепловое сопротивление корпус-охладитель	R_{thCH}	для модуля		-	0.02	0.04	К/Вт
Момент затягивания винтов корпуса	M_s	к охлаждающей М6		3.00	-	5.00	Н*м
Момент затягивания на силовых выводах	M_t	к клеммам М5		2.25	2.50	2.75	Н*м
Вес	W			-	153	170	г

Примечания:

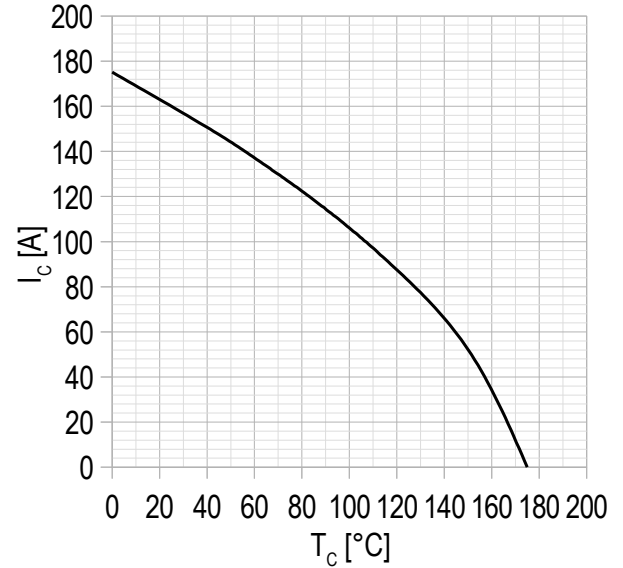
- Рабочая температура корпуса и изоляционных материалов не должна превышать $T_c = 125^{\circ}\text{C}$ макс;
- Рекомендуемая рабочая температура кристалла $T_{vj\text{ op}} = -40 \div +150^{\circ}\text{C}$.
- №ТУ 3417-065-41687291-2016.

Рисунок 1 – типичная выходная характеристика, IGBT.



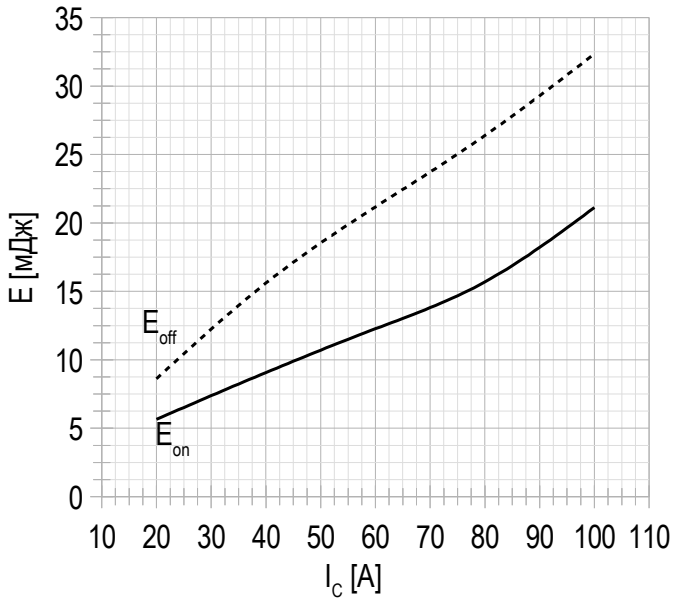
$U_{GE} = +15\text{ B.}$

Рисунок 2 – максимальная зависимость тока коллектора от температуры кристалла.



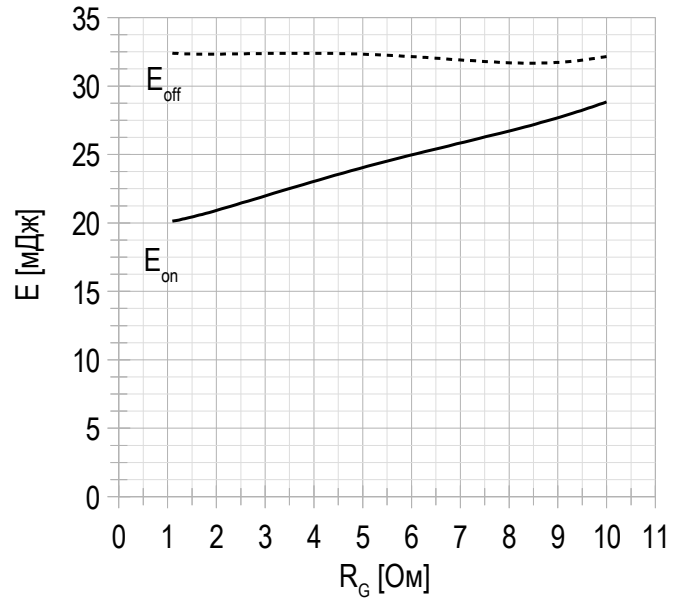
Постоянный ток;
 $U_{GE} = +15\text{ B.}$
 $T_{vj(max)} = 175^\circ\text{C.}$

Рисунок 3 – типичная энергия переключения от тока коллектора, IGBT.



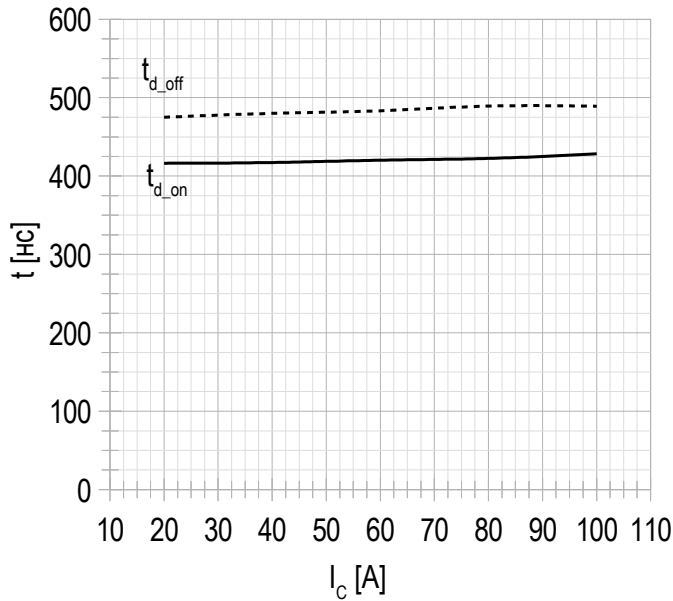
$U_{CE} = 920\text{ B.}$
 $U_{GE} = \pm 15\text{ B.}$
 $R_G = 2.2\text{ Ом.}$
 $L = 300\text{ мкГн.}$
 $T_{vj(max)} = 150^\circ\text{C.}$

Рисунок 4 – типичная энергия переключения от сопротивления в затворе, IGBT.



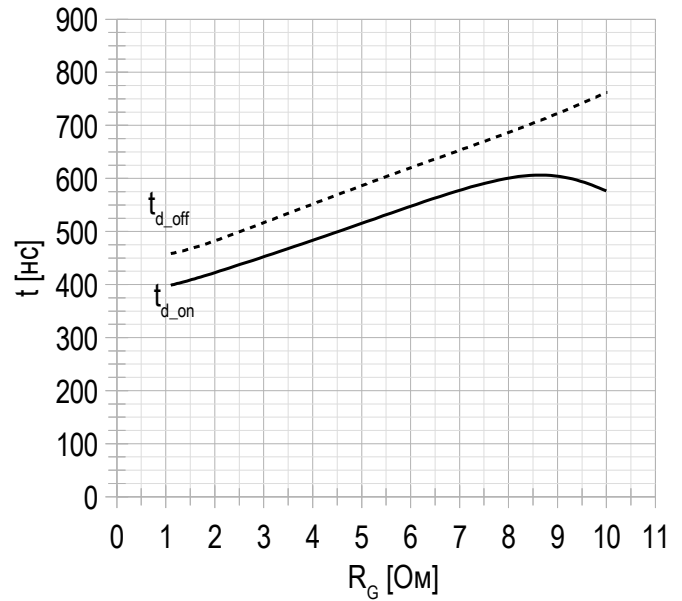
$U_{CE} = 920\text{ B.}$
 $U_{GE} = \pm 15\text{ B.}$
 $I_{cmax} = 100\text{ A.}$
 $L = 300\text{ мкГн.}$
 $T_{vj(max)} = 150^\circ\text{C.}$

Рисунок 5 – типичное время переключения от тока коллектора, IGBT.



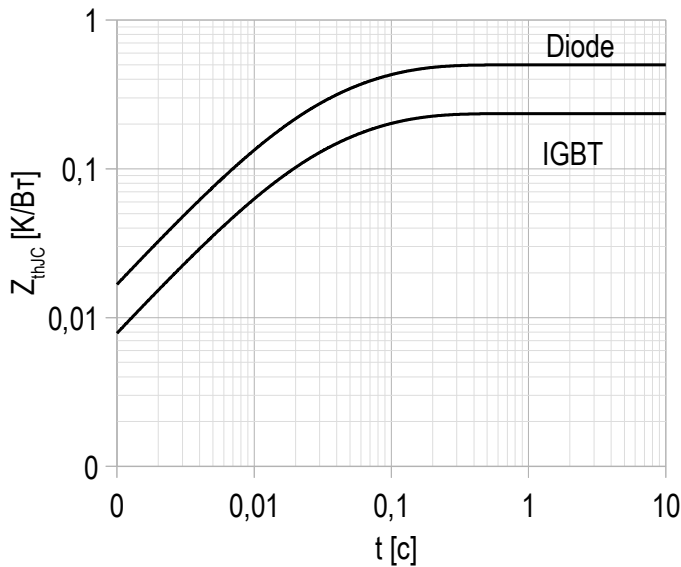
$U_{CE} = 920$ В;
 $U_{GE} = \pm 15$ В;
 $R_G = 2.2$ Ом;
 $L = 300$ мкГн;
 $T_{vj(max)} = 150^\circ\text{C}$.

Рисунок 6 – типичное время переключения от сопротивления в затворе, IGBT.



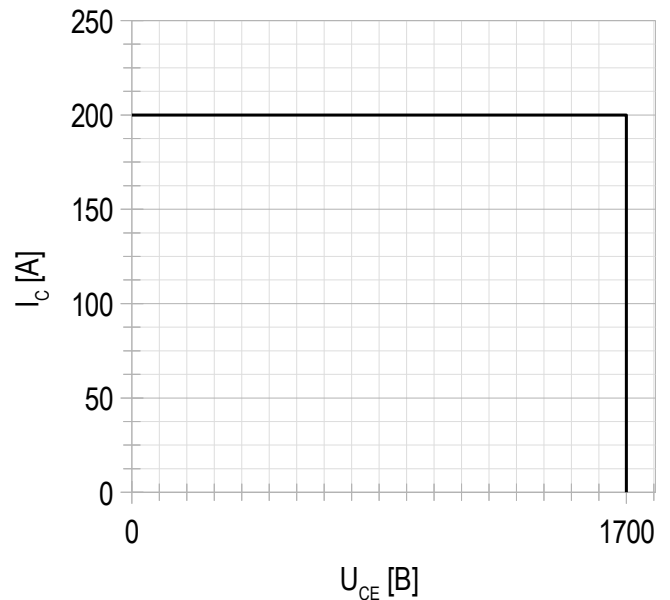
$U_{CE} = 920$ В;
 $U_{GE} = \pm 15$ В;
 $I_{Cmax} = 100$ А;
 $L = 300$ мкГн;
 $T_{vj(max)} = 150^\circ\text{C}$.

Рисунок 7 – максимальное переходное тепловое сопротивление.



Единый импульс;
 $U_{GE} = +15$ В.

Рисунок 8 – область безопасной работы при выключении.



$U_{CEmax} = 1700$ В;
 $U_{GE} = \pm 15$ В;
 $I_{Cmax} = 2 \cdot I_{Cnom}$;
 $R_G = 2.2$ Ом;
 $L = 300$ мкГн.

Рисунок 9 – типичная прямая характеристика, FRD.

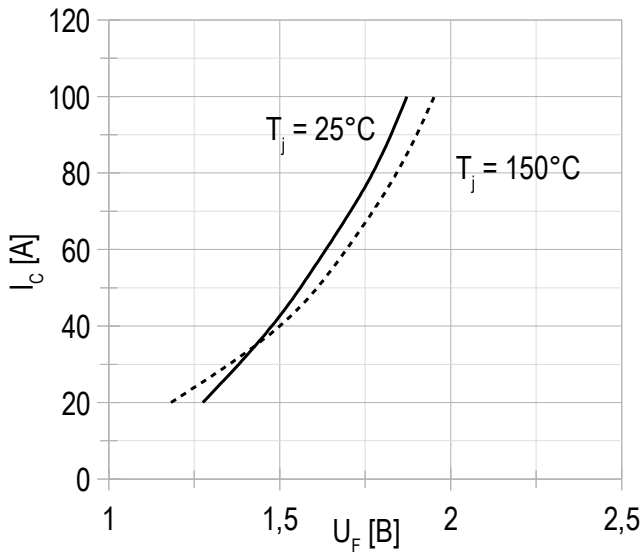

 $U_{GE} = +15 \text{ V}$.

Рисунок 10 – типичная энергия рассеиваемая при восстановлении от тока коллектора, FRD.

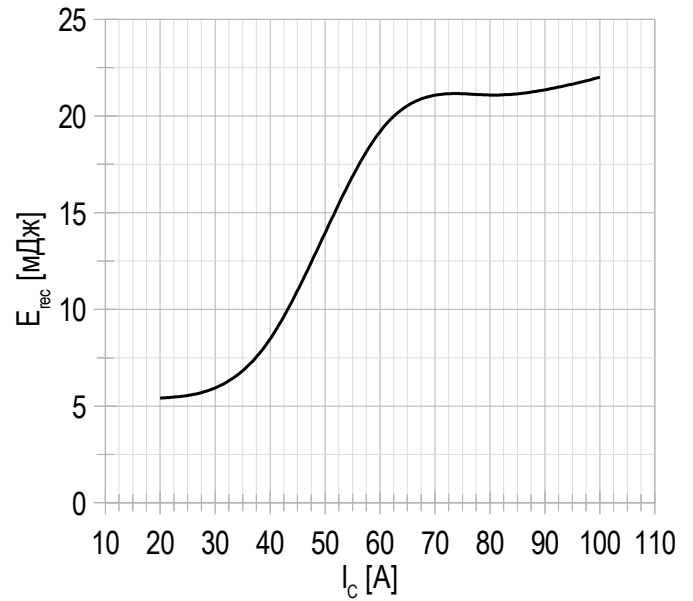

 $U_{GE} = \pm 15 \text{ V}$;
 $U_{CE} = 920 \text{ V}$;
 $L = 300 \text{ мкГн}$;
 $R_{G\ on} = 2.2 \text{ Ом}$;
 $T_{vj\ (max)} = 150^\circ\text{C}$.

Рисунок 11 – типичная энергия рассеиваемая при восстановлении от сопротивления в затворе, FRD.

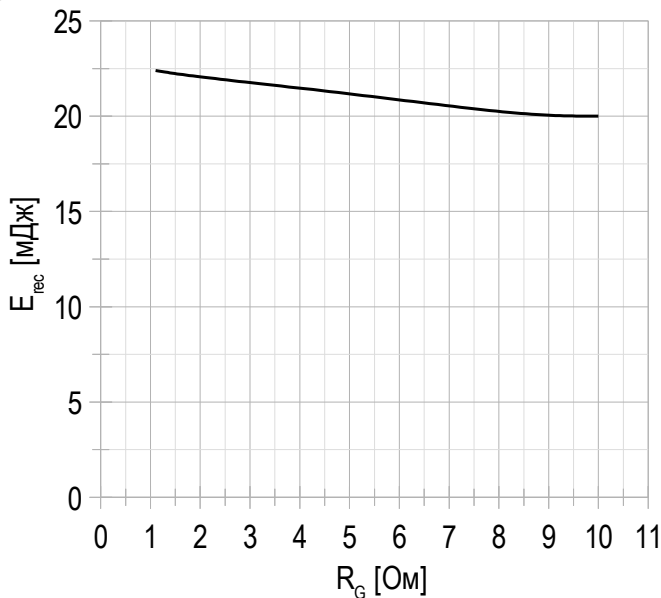

 $U_{GE} = \pm 15 \text{ V}$;
 $U_{CE} = 920 \text{ V}$;
 $I_{C\ max} = 100 \text{ A}$;
 $L = 300 \text{ мкГн}$;
 $T_{vj\ (max)} = 150^\circ\text{C}$.

Рисунок 12 – типичная зависимость заряда обратного восстановления от сопротивления в затворе, FRD.

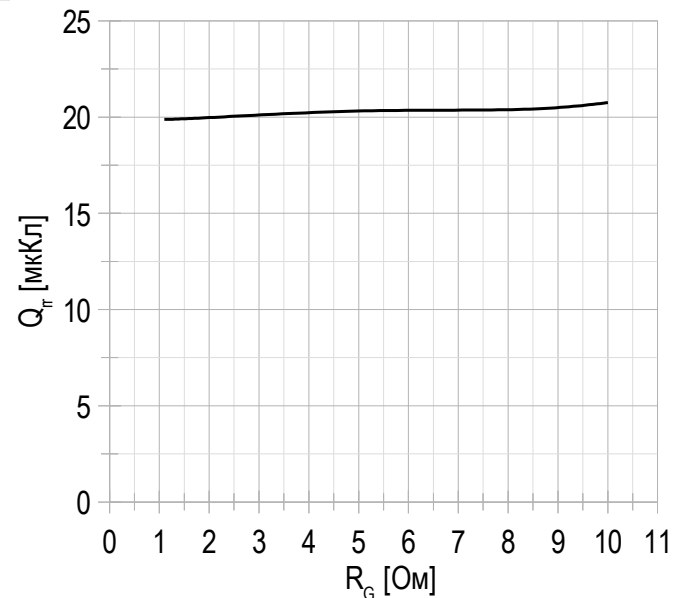
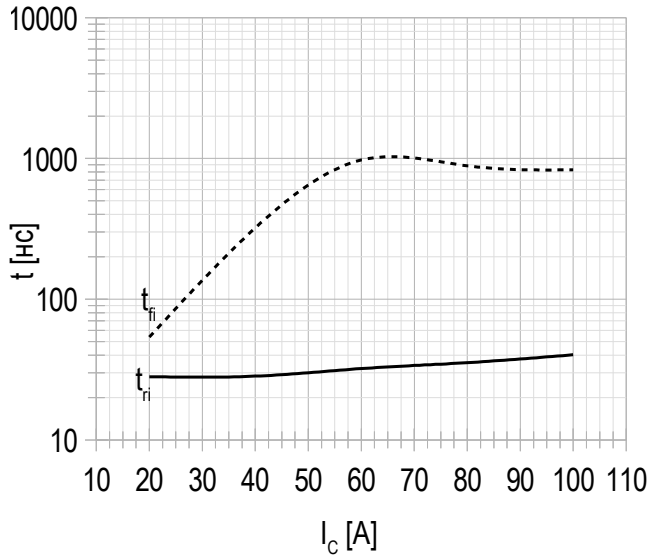
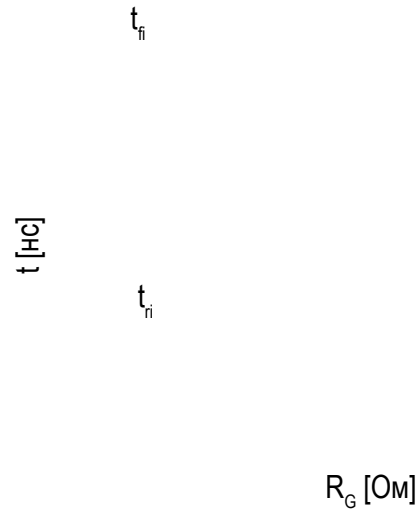
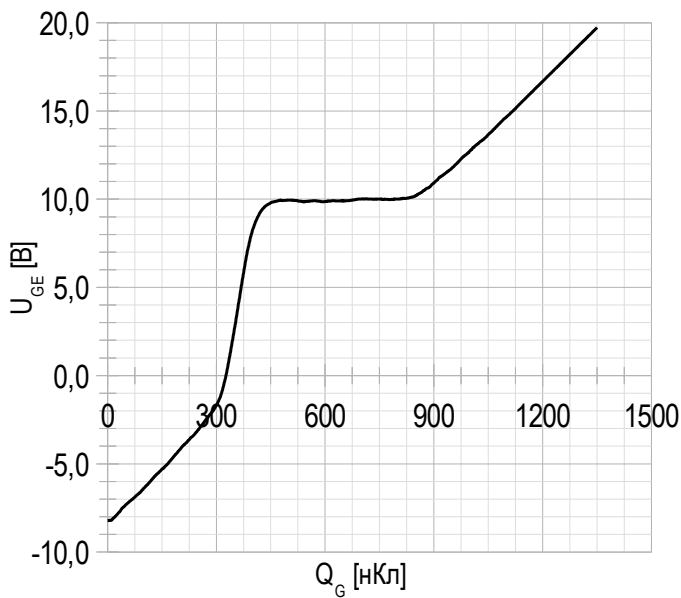

 $U_{GE} = \pm 15 \text{ V}$;
 $U_{CE} = 920 \text{ V}$;
 $I_{C\ max} = 100 \text{ A}$;
 $L = 300 \text{ мкГн}$;
 $T_{vj\ (max)} = 150^\circ\text{C}$.

Рисунок 13 – типичное время переключения от тока коллектора, FRD.


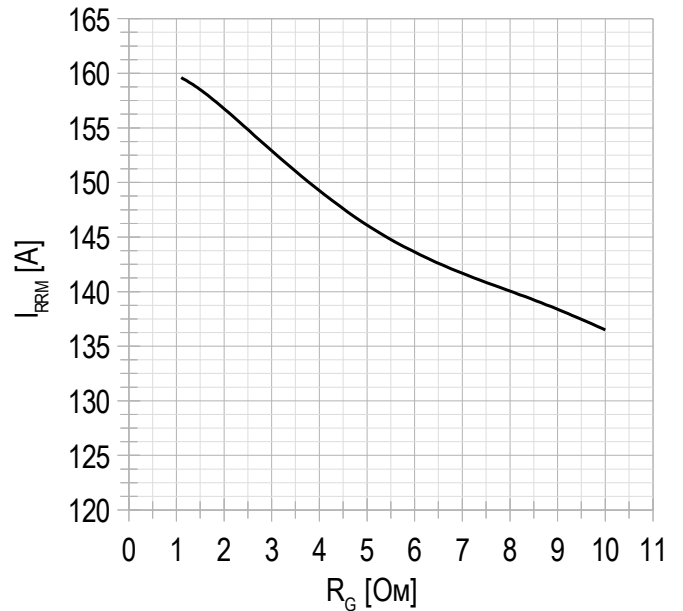
$U_{CE} = 920$ В;
 $U_{GE} = \pm 15$ В;
 $R_G = 2.2$ Ом;
 $L = 300$ мкГн.
 $T_{vj(max)} = 150^\circ\text{C}$.

Рисунок 14 – типичное время переключения от сопротивления в затворе, FRD.


$U_{CE} = 920$ В;
 $U_{GE} = \pm 15$ В;
 $I_{Cmax} = 100$ А;
 $L = 300$ мкГн.
 $T_{vj(max)} = 150^\circ\text{C}$.

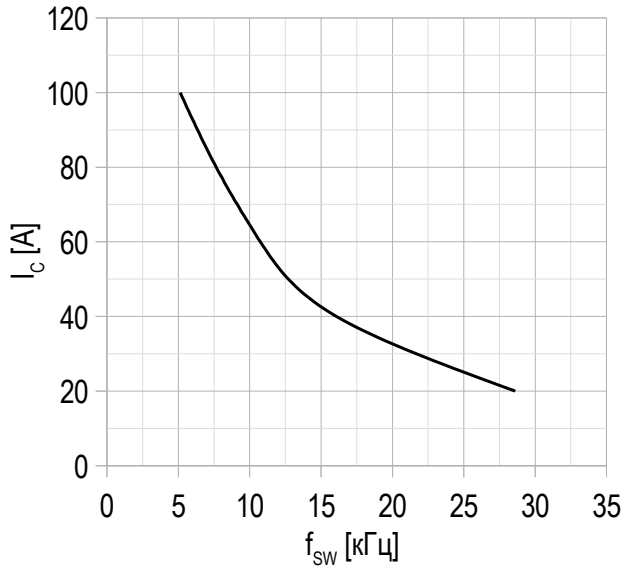
Рисунок 15 – типичная характеристика заряда затвора.


$I_C = 100$ А;
 $U_{CE} = 920$ В;
 $U_{GE} = -8 \div 15$ В.

Рисунок 16 – типичная зависимость тока обратного восстановления от сопротивления в затворе, FRD.


$U_{CE} = 920$ В;
 $U_{GE} = \pm 15$ В;
 $L = 300$ мкГн.
 $T_{vj(max)} = 150^\circ\text{C}$.

Рисунок 17 – типичная зависимость тока коллектора от частоты.



Сквозность 50%

